

# INDUCTION 2

## ACTIONS D'UN CHAMP MAGNÉTIQUE

- COMPRENDRE L'ORIGINE DE LA FORCE DE LAPLACE
- RAIL DE LAPLACE (PUISSANCES MISES EN JEU)
- SPIRE RECTANGULAIRE (MOMENT, COUPLE ETC...)
- GÉNÉRALISATION À TOUT MOMENT (AIMANT) EQUILIBRE ET STABILITÉ
- EXPÉRIENCE DE CHAMP TOURNANT

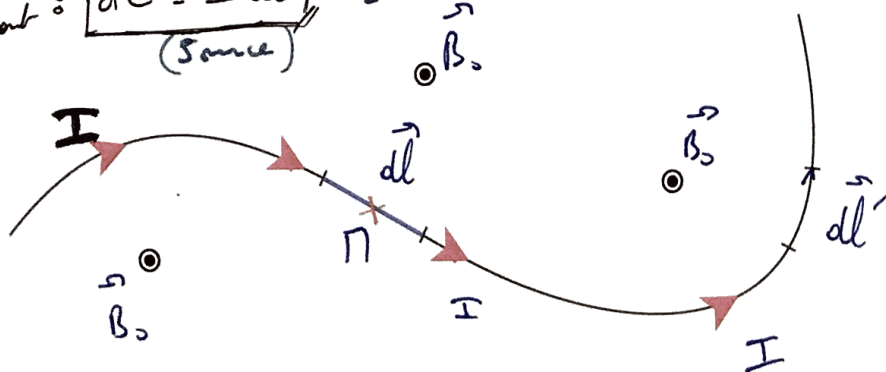
### 1 - LA FORCE DE LAPLACE

#### α - champs magnétiques propre et extérieur

On considère ici un fil électrique "plongé" dans un chp magnétique  $\vec{B}_0$  extérieur.

Soit  $d\vec{l}$  un élément de fil parcouru par un courant  $I$  :

Élément de courant :  $d\vec{C} = I d\vec{l}$  (Source)  $\vec{O}qR$



### ON DISTINGUERA BIEN : CHAMP EXTÉRIEUR & CHAMP PROPRE

L'élément de fil «voit» le champ extérieur, mais également le champ magnétique créé par le fil ou champ propre, c-à-d le champ produit au point M par tous les autres éléments de courant  $d\vec{l}'$  qui constituent le fil.

On considère qu'en M, l'élément de fil  $d\vec{l}$  ne voit pas son propre champ.

Rq: En réalité, un fil (ligne) n'existe pas et il faut calculer le champ au sein d'un volume matériel. Un élément de courant ponctuel n'a pas de sens matériellement. C'est un modèle.

Le champ propre ~~champ~~ dépend de la forme du fil et varie dans l'espace. Différents points du fil ne voient donc pas le même champ propre produit par tous les autres éléments constitutifs du fil.

Le plus souvent, le champ propre est faible, et il n'est pas pris en compte dans les calculs, du moins dans un premier temps.

### β - Force de Laplace linéique

En présence d'un chp mag., les particules en Mt. ds. le fil subissent la force mag. de Lorentz. Soit  $dq$  une charge passant en M

$$d\vec{F} = dq \vec{v} \wedge \vec{B}(r)$$



Pierre-Simon Laplace (1749-1827)

On peut en déduire la relat° entre force, courant et chp  $\vec{B}$  : c'est l'expression de la force de Laplace.

$$d\vec{F} = dq \frac{d\vec{l}}{dt} \wedge \vec{B}(r) \quad \text{or} \quad I = \frac{dq}{dt} \quad \text{Rq: fil fixe (!)}$$

car  $d\vec{l}$  est parcourue à la vitesse  $\vec{v}$  par le

charge dq pendant dt :

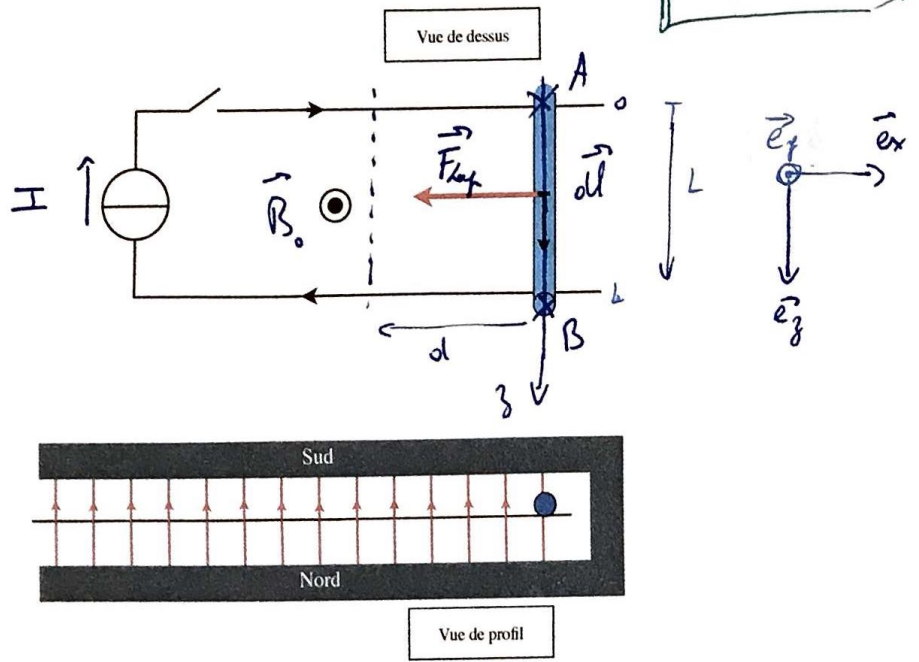
Donc  $d\vec{F} = I d\vec{l} \wedge \vec{B}(r)$

$\vec{B}(r) = \vec{B}_0 + \vec{B}_{propre}(r)$

Dans notre étude, le dip propre sera négligé.  
et on considère le champ extérieur  $\vec{B}_0$  uniforme :

Soit  $d\vec{F} = I d\vec{l} \wedge \vec{B}_0$

Y - Expérience des rails de Laplace



$\vec{B}_0 = B_0 \vec{e}_y$

Observation: Le barreau accélère vers la gauche.  
⇒ Nous avons les éléments pour créer un système électrique

**ETUDE DYNAMIQUE SIMPLE**

\* Calcul de la force de Laplace sur le barreau :

$$\vec{F}_{Lap} = \int_A^B d\vec{F}_{Lap} = \int_0^L I d\vec{l} \wedge \vec{B}_0 = I \int_0^L dz (\vec{e}_z \wedge \vec{B}_0)$$

$$= I \int_0^L dz \cdot B_0 \underbrace{\vec{e}_z \wedge \vec{e}_y}_{-\vec{e}_x}$$

$\vec{F}_{Lap} = -B_0 I L \vec{e}_x$   
force constante.

\* Soit d la distance parcourue : Travail.

$$W_{Lap} = \vec{F} \cdot d\vec{l} = (-B_0 I L \vec{e}_x) \cdot (-d \vec{e}_x) = B_0 I L d \underbrace{\vec{e}_x \cdot \vec{e}_x}_1$$

$W_{Lap} = B_0 I L d = B_0 \cdot I \cdot (\underbrace{\quad}_{S})$  : Surface balayée.

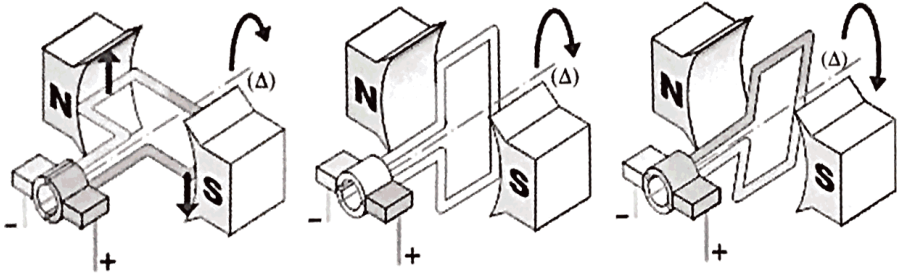
\* Trajectoire : de Type chute libre.  $\vec{a} = \frac{\vec{F}_{Lap}}{m} = -\frac{B_0 I L}{m} \vec{e}_x$

(cf mica 2)  $x(t) = -\frac{1}{2} \frac{B_0 I L}{m} t^2$

## 2 - ETUDE D'UNE SPIRE DE COURANT

### α - Modélisation simple d'un moteur à courant continu

RÉALISATION DU DISPOSITIF :

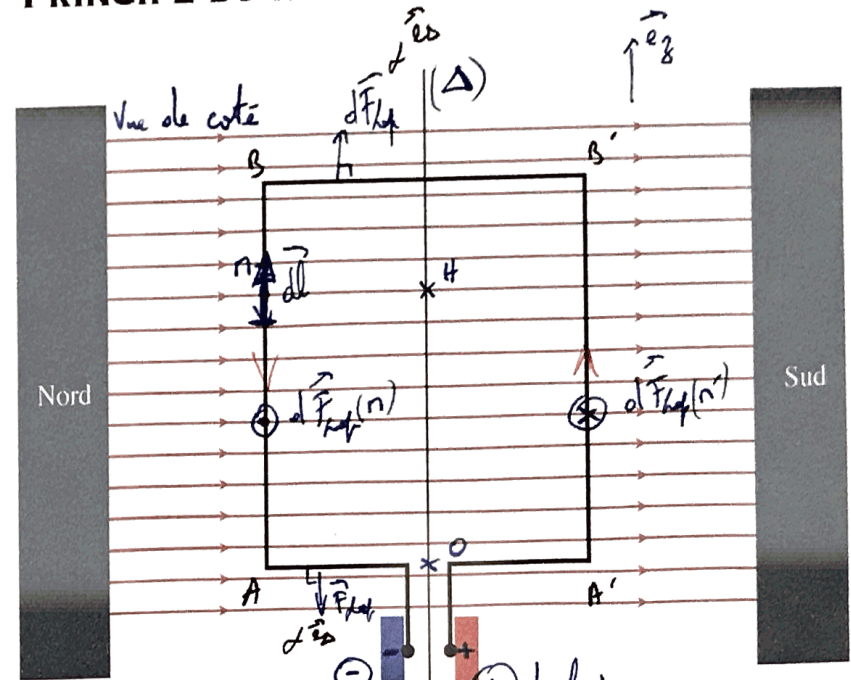


Le dispositif simple

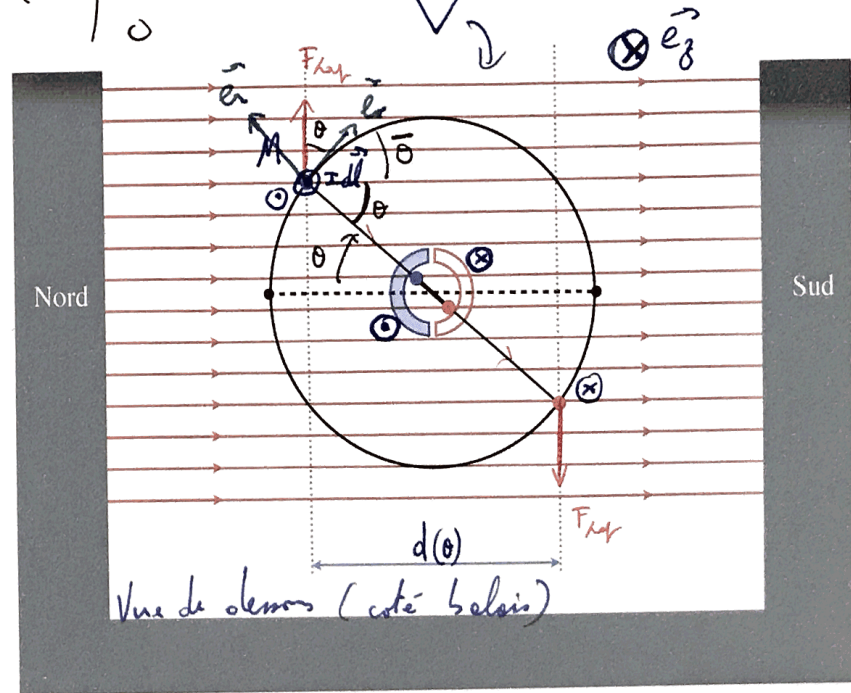
.....  
:  
:

le champ  $\vec{B}$  est supposé uniforme entre les 2 pôles

## PRINCIPE DU MOTEUR À COURANT CONTINU



$$\vec{B}(n) = \begin{pmatrix} -B_0 \cos(\alpha) \\ +B_0 \sin(\alpha) \\ 0 \end{pmatrix}$$



$\vec{e}_1$ ,  $\vec{e}_2$ ,  $\vec{e}_3$

$\vec{F}_k \propto \vec{e}_3$

$\Rightarrow dM \perp \vec{e}_3$

$R_0$ :  
pas de moment sur  $AA'$   
sur  $BB'$

# CALCUL DU COUPLE MOTEUR

\* Force de Laplace sur 1 côté

$$d\vec{F}(r) = +I d\vec{l} \wedge \vec{B}_0 = -I \begin{vmatrix} 0 & -\cos(\theta) B_0 \\ dz & +\sin(\theta) B_0 \\ 0 & 0 \end{vmatrix}$$

$$d\vec{F}(r) = +I dz \begin{vmatrix} \sin(\theta) B_0 \\ \cos(\theta) B_0 \\ 0 \end{vmatrix}$$

$$\vec{F} = B_0 I L \begin{vmatrix} \sin \theta \\ \cos \theta \\ 0 \end{vmatrix}$$

\* Calcul du moment sur 1 côté et selon  $\Delta$ :

$$M_\Delta = \int_0^L (\vec{OM} \wedge d\vec{F}(r)) \cdot \vec{e}_z = \int_0^L (\vec{e}_z \wedge R \vec{e}_r) \cdot d\vec{F}(r) = \int_0^L R \vec{e}_\theta \cdot d\vec{F}(r)$$

Or  $\vec{e}_\theta \cdot d\vec{F}(r) = B_0 I dz \cos(\theta)$   $dM_\Delta = B_0 R I \cos(\theta) dz$

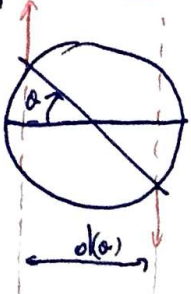
Soit  $M_\Delta = \int_0^L dM_\Delta = B_0 I L R \cos \theta = M_\Delta$

Soit le couple:  $T_m = 2 M_\Delta$

$$T_m = 2 B_0 I L R \cos \theta$$

\* géométriquement:  $\|F_{\text{Lap}}\| = B_0 I L$

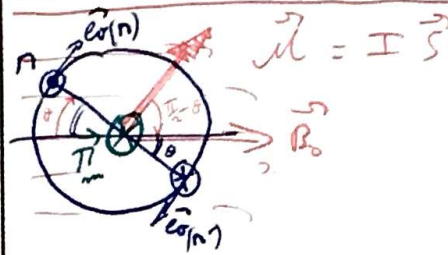
Couple:



$$T_m = d(\theta) \times F \quad d(\theta) = 2R \cos(\theta)$$

$$T_m = 2 B_0 I L R \cos \theta$$

# EXPRESSION DU COUPLE EN FONCTION DU MOMENT



$$\vec{M} = I 2RL \cos(\theta) \vec{e}_z$$

$$(\vec{M}, \vec{B}_0) = \frac{\pi}{2} \quad \vec{M} \perp \vec{B}_0$$

$\theta = 0$

$T_m = 2 B_0 I L R = \|\vec{M}\| \times \|\vec{B}_0\|$  selon  $\vec{e}_z \perp \vec{B}_0$

$\theta = \frac{\pi}{2}$

$T_m = 0$  car  $\vec{M} \propto \vec{B}_0$

$\theta \text{ quelconque}$

$T_m = 2 B_0 I L R \cos \theta = \|\vec{M}\| \times \|\vec{B}_0\| \times \sin(\frac{\pi}{2} - \theta)$   
 et  $T_m \propto \vec{e}_z$   $\sin(\vec{M}, \vec{B}_0)$

On en déduit l'expression générale pour un cadre rectangulaire:

$$\vec{T}_m = \vec{M} \wedge \vec{B}_0$$

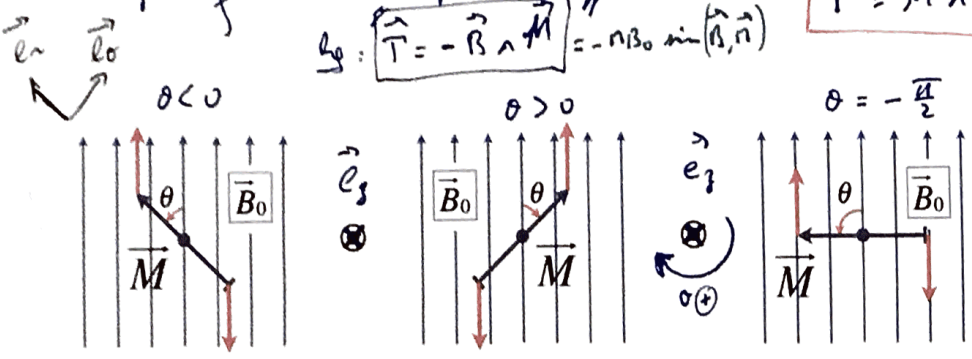
formule vectorielle intrinsèque

Cette formule reste correcte  $\forall$  cadre (forme) si  $\vec{B}_0$  est uniforme.

### 3 - ACTION D'UN CHAMP UNIFORME SUR UN MOMENT

On généralise l'expression précédente à  $\theta$  moment magnétique: Le couple de rappel s'écrit:  $\vec{T} = \vec{M} \wedge \vec{B}$

Ex:  $\vec{T} = -\vec{B} \wedge \vec{M} = -\pi B_0 \sin(\theta) \vec{e}_z$



$T = -\pi B_0 \sin(\theta) > 0$        $T = -\pi B_0 \sin(\theta) < 0$        $T_{max} = \pi B_0$

$\vec{T} = \vec{n} \wedge \vec{B} = -\pi B_0 \sin(\theta) \vec{e}_z$        $\Delta$  def  $\theta$  changé

**PROPRIÉTÉ :**

Le couple a pour exp. de tps. ramène l'aimantation de la direction du dip.  $\vec{B}$ .

**CONSTRUCTION DE L'ÉNERGIE POTENTIELLE :**

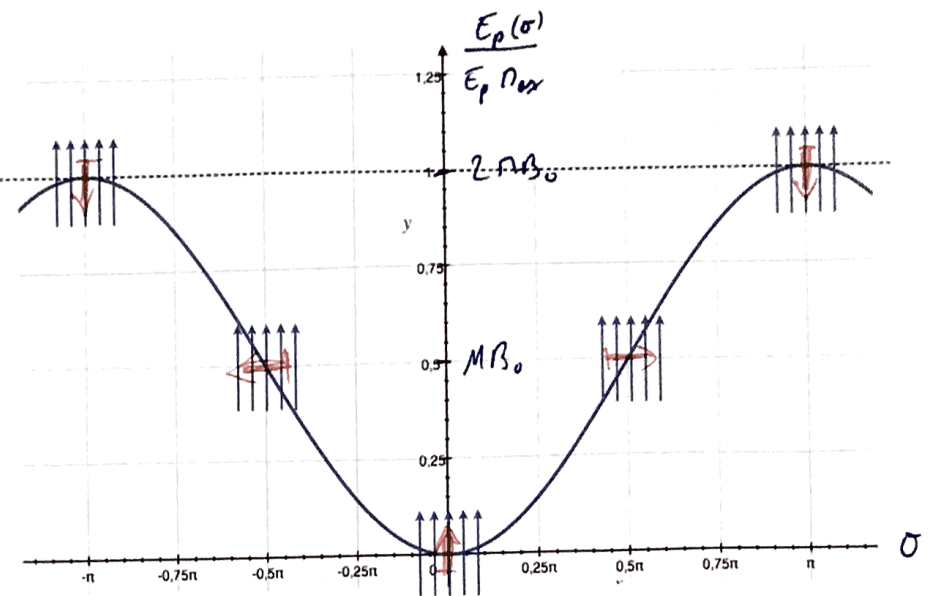
On peut relier cette propriété à l' $E_p$  des dip. de la direction  $\vec{B}$

$dE_p = -dW = -T dt = -\vec{T} \cdot \vec{\Omega} dt = -T \frac{d\theta}{dt} dt = -T d\theta$   
 $= +\pi B_0 \sin(\theta) d\theta = d(-\pi B_0 \cos(\theta) + e^k)$

$E_p = -\pi B_0 \cos(\theta) + e^k$        $E_p(0) = 0$        $e^k = +\pi B_0$

$E_p(\theta) = \pi B_0 [1 - \cos(\theta)]$

Ex:  $E_p(\theta) = \pi B_0 - \vec{n} \cdot \vec{B}$   
 \* Si  $e^k = -$   $E_p = -\vec{n} \cdot \vec{B}$



**EQUILIBRE ET STABILITÉ :**

1 - RECHERCHE DES POSITIONS D'ÉQUILIBRE

$\frac{dE_p}{d\theta} = \pi B_0 \sin(\theta) = 0 \Rightarrow \theta_{eq} = m\pi \quad m \in \mathbb{Z}$

$\theta_{eq} = 0 [rad]$  ou  $\theta_{eq} = \pi [rad]$

2 - STABILITÉ DE L'ÉQUILIBRE ?

$\frac{d^2 E_p}{d\theta^2} = \pi B_0 \cos(\theta)$

\*  $\frac{d^2 E_p}{d\theta^2}(0) = +\pi B_0$  stable

\*  $\frac{d^2 E_p}{d\theta^2}(\pi) = -\pi B_0$  instable

OK stable

#### 4 - RÉALISATION DE CHAMPS TOURANTS

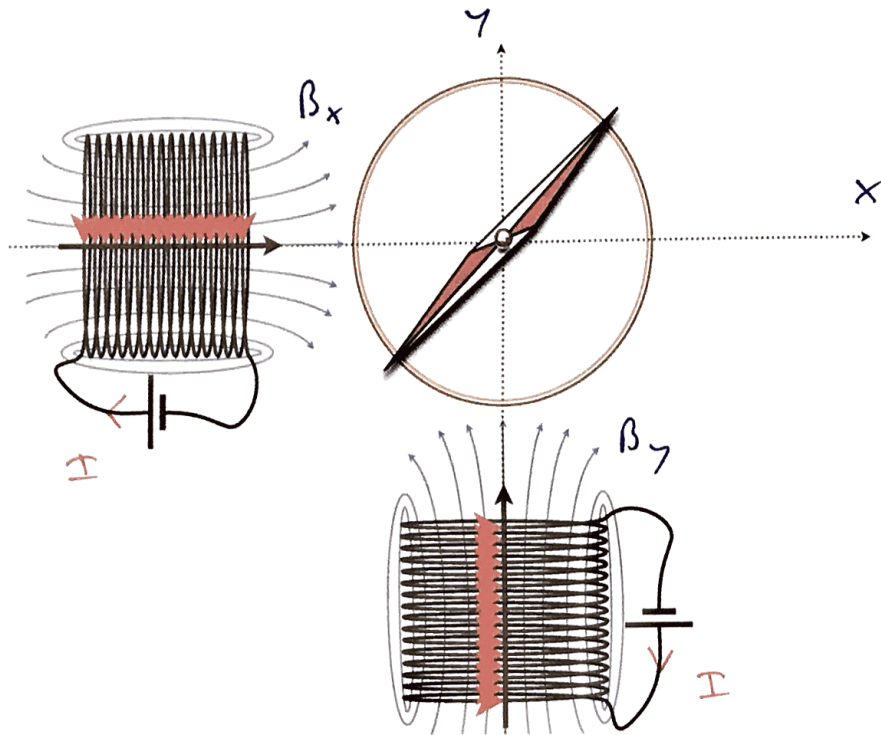
Il s'agit d'entraîner en rotation sous la forme d'une aimantation [boussole, aimant, bobine], à l'aide d'un champ magnétique tournant.

On peut supposer d'après l'étude précédente que si le champ tourne, et puisque le moment tente toujours de s'aligner sur le champ  $B$ , l'aimantation produisant ce moment sera obligé de suivre le champ dans sa rotation.

On suppose donc pour simplifier que le moment produit par le champ sur le moment est suffisamment important pour vaincre l'inertie du rotor et lui imposer sa rotation.

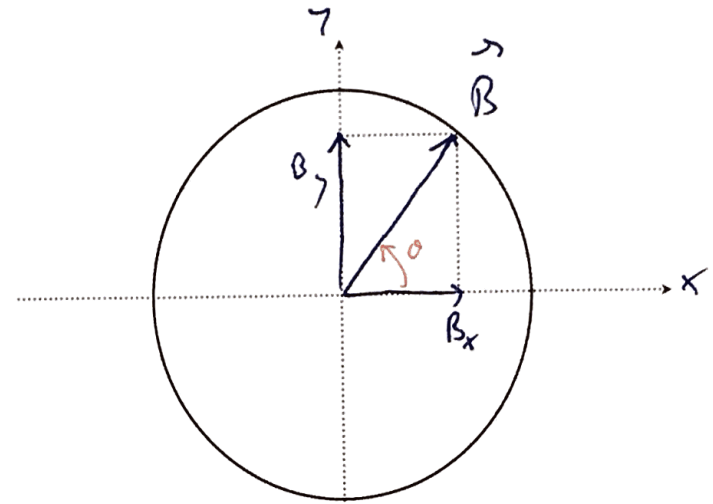
L'étude complète peut toutefois être faite simplement en posant le TMC.

(cf TD)



#### CALCUL DU CHAMP B :

$$\vec{B} = B_x \vec{e}_x + B_y \vec{e}_y$$



$$\theta = \omega t$$

$$t=0 \quad \vec{B} = B_0 \vec{e}_x$$

$$\begin{cases} B_x = B_0 \cos(\omega t) \\ B_y = B_0 \sin(\omega t) = B_0 \cos(\omega t - \frac{\pi}{2}) \end{cases}$$

$$\vec{B} = \begin{pmatrix} B_0 \cos(\omega t) \\ B_0 \cos(\omega t - \frac{\pi}{2}) \end{pmatrix}$$

On comprend donc que le résultat d'un champ tournant nécessite :

- une quadrature spatiale (espace) [ $B_y$  tourné de  $90^\circ/B_x$ ]
- une quadrature temporelle retard [ $B_y$  retardé de  $90^\circ/B_x$ ]

$\Rightarrow$  Le champ ainsi obtenu tourne à  $\omega$